

ЭЛЕКТРОННАЯ ПЛОТНОСТЬ СОСТОЯНИЙ И КОЭФФИЦИЕНТ ДИФФУЗИИ ЭЛЕКТРОНОВ В ЭНЕРГЕТИЧЕСКОМ ПРОСТРАНСТВЕ В НЕИДЕАЛЬНОЙ НЕРАВНОВЕСНОЙ ПЛАЗМЕ

А. А. Бобров^a, С. Я. Бронин^b, Б. Б. Зеленер^{a}, Б. В. Зеленер^b, Э. А. Маныкин^a*

^a *Московский инженерно-физический институт (государственный университет)
115409, Москва, Россия*

^b *Объединенный институт высоких температур Российской академии наук
127412, Москва, Россия*

Поступила в редакцию 10 октября 2007 г.

Предложена модель водородоподобной низкотемпературной неравновесной неидеальной плазмы, позволяющая методом молекулярной динамики рассчитывать кинетические характеристики плазмы с учетом взаимодействия между частицами. Заряды взаимодействуют по закону Кулона, в случае разноименных зарядов на расстоянии меньше нескольких радиусов Бора взаимодействие принимается равным константе. Для системы частиц решались классические уравнения движения в рамках периодических граничных условий. Начальные условия задавались так, что электроны имели положительную полную энергию. Рассматривались температуры 1–50 К и плотности $n = 10^9\text{--}10^{10} \text{ см}^{-3}$, создаваемые в эксперименте при помощи лазерного охлаждения и резонансного возбуждения. Рассчитана плотность электронных состояний в зависимости от параметра неидеальности плазмы, а также коэффициент диффузии электронов в пространстве энергии для высоковозбужденных (ридберговских) состояний электрона, близких к границе дискретного и непрерывного спектров.

PACS: 52.27.Gr, 52.65.Yy

1. ВВЕДЕНИЕ

Интерес к распределению электронов по энергетическим состояниям обусловлен необходимостью определения различных характеристик плазмы: радиационных потерь энергии, потерь энергии на ионизацию и возбуждение, равновесного и неравновесного состава.

Вопрос о распределении возбужденных состояний атомов, молекул и их кластеров имеет первостепенное значение в физике газовых лазеров, лазерного охлаждения газов, многофотонной ионизации, в задачах плазмохимии, при разработке источников излучения, а также для понимания образования и распада конденсированного состояния из возбужденных атомных частиц.

В состоянии термодинамического равновесия за-

дача о распределении частиц по состояниям решается с помощью формулы Больцмана и однозначно связана с температурой. В случае равновесной плазмы, как известно (см., например, [1]), для концентраций атомов в состоянии k справедливы соотношения Саха:

$$n_k = n_m \frac{g_k}{g_m} \exp\left(-\frac{E_m - E_k}{T}\right), \quad (1)$$

$$n_k = n_e(n_e^+) 2 \Sigma_i \frac{(2m\pi T)^{3/2}}{g_k h^3} \exp \frac{E_k}{T}, \quad (2)$$

где n_k , n_m — концентрации различных основных и возбужденных состояний атомов, n_e , n_e^+ и Σ_i — соответственно концентрация электронов, концентрация и статистическая сумма положительных ионов; g_k — статистический вес уровня k , а в общем случае — плотность состояний $g(E)$.

В отсутствие равновесия распределение электронов по уровням энергии в общем случае не харак-

*E-mail: bobozel@mail.ru

теризуется какой-либо температурой, а определяется кинетическими процессами. В этом случае населенности уровней определяются системой кинетических уравнений баланса, записанных для каждого из возбужденных состояний с учетом всевозможных элементарных процессов, обедняющих или населяющих данный уровень.

Для определения состава равновесной плазмы и при решении кинетических уравнений баланса неравновесной плазмы необходимо знать статистический вес уровня k , а в случае высоковозбужденных состояний — плотность состояний электрона $g(E)$. В общем случае $g(E)$ отличается от плотности состояний изолированного атома в пределе $E_k/T \rightarrow 0$ из-за взаимодействия с частицами, окружающими данный атом.

2. ПЛОТНОСТЬ ЭЛЕКТРОННЫХ СОСТОЯНИЙ $g(E)$

Плотность электронных состояний $g(E)$ исследовалась ранее, например в работах [2–7].

Состояния энергии электрона в частично ионизованной плазме можно приблизительно классифицировать по трем группам.

Первая группа соответствует низким дискретным атомным уровням и плотность состояний электрона для этих уровней равна его статистическому весу.

В случае водорода и водородоподобных уровней

$$g_k = 2k^2, \quad (3)$$

где k — главное квантовое число (номер) уровня. Выражению (1) соответствует классическая плотность кулоновских состояний (см., например, [1])

$$g(E) = \frac{Ry^{3/2}}{E^{5/2}}, \quad (4)$$

или в безразмерном виде

$$g(\varepsilon) = \frac{4\pi^2\gamma^3}{32|\varepsilon|^{5/2}}, \quad (5)$$

где $\varepsilon = E/T$, T — температура, константа Ридберга $Ry = 13.6$ эВ, $\gamma = e^2 n_e^{1/3}/T$ — параметр неидеальности, e — заряд электрона.

Предполагается, что плотность зарядов такова, что микрополя в плазме не влияют на эти низколежащие значения энергий связанных электронов. Это справедливо в широкой области изменения плотностей зарядов.

Вторая группа — это высоковозбужденные (ближкие к ридберговским) состояния с $E < 0$. В общем случае их нельзя считать состояниями электрона в атоме, так как в формировании электронного состояния участвуют заряженные частицы, которые окружают электрон-ионную пару, и выражения (4) и (5) в случае $E \rightarrow -0$ расходятся.

Третья группа — электроны непрерывного спектра, для которых $g(\varepsilon) \sim \varepsilon^{1/2}$.

В работах [2, 3] были предложены различные варианты интерполяции $g(\varepsilon)$ в область малых энергий и на их основе получено уравнение ионизационного равновесия. В работе [4] было показано, что в классическом приближении в рамках второго виримального коэффициента функция $g(\varepsilon)$ при малых энергиях имеет особенность:

$$g(\varepsilon) = \frac{4\pi^2\gamma^3}{32|\varepsilon|^{5/2}} \quad \text{для } \varepsilon < 0, \quad (6)$$

$$g(\varepsilon) = \sqrt{\varepsilon} \left(1 - \frac{\sqrt{4\pi\gamma^3}}{8\varepsilon^2} \right) \quad \text{для } \varepsilon > 0. \quad (7)$$

Там же, в работе [4], было показано, что эта особенность $g(\varepsilon)$ интегрируется и при термодинамическом подходе не содержит расходимостей. Однако вопрос о составе плазмы из-за особенностей $g(\varepsilon)$ остается открытым, так как неясно, какие электроны связанны, а какие свободны и дают вклад в проводимость плазмы.

В работах [5, 6] были предложены варианты вида функции $g(\varepsilon)$ без особенностей, но они неоднозначны и не имеют четких границ применимости.

В работах [7, 8] в приближении ближайшего соседа была вычислена функция $g(\varepsilon)$, которая конечно во всей области ε . Авторами работ [7, 8] рассматривалась плотность состояний $g(\varepsilon)$ в слабонеидеальной плазме, когда плазменный параметр $\alpha = \sqrt{4\pi\gamma^3} \approx 1$. Рассмотрение проводилось в большом каноническом ансамбле. В этом случае

$$\gamma_z = e^2(z_e + z_i)^{1/3}/T, \quad (8)$$

где z_e , z_i — активности, соответственно, электрона и иона. Активности определяются через химический потенциал μ следующим образом: $z = e^{\mu/T}/\lambda^3$, где $\lambda = h/(2\pi\mu kT)^{1/2}$.

Для $g(\varepsilon)$ было получено выражение с использованием приближения ближайшего соседа для учета слабого взаимодействия электрона, находящегося в поле иона с окружением:

$$g(\varepsilon) = 4\pi^2\gamma^3 \int \frac{dy\sqrt{\varepsilon+y}}{y^4} \exp\left(-\frac{4\pi\gamma^3}{3y^3}\right). \quad (9)$$

Пределы интегрирования в правой части формулы (9) выбираются таким образом, чтобы подкоренные выражения были положительными. При больших отрицательных ε из формулы (9) можно получить плотность классических связанных кулоновских состояний (4), которая соответствует плотности состояний в квантовом случае (см., например, [1]). Плотность состояний в квантовом случае определяется статистическим весом в зависимости от главного квантового числа k водородного уровня. При этом статистический вес уровня равен $g_k = 2k^2$, а энергия $E_k = me^4/2\hbar^2 k^2$. При $\varepsilon \rightarrow -0$ плотность состояний значительно отличается от водородной и при $\varepsilon = 0$

$$g(\varepsilon) = 0.72 \gamma_z^{1/2}. \quad (10)$$

В случае $\varepsilon \gg 0$, как и следовало ожидать, получается плотность состояний свободных электронов:

$$g(\varepsilon) \sim \sqrt{\varepsilon}. \quad (11)$$

Полученное для $g(\varepsilon)$ в работах [7, 8] выражение (9) зависит от активностей z_e, z_i . Когда потенциальное взаимодействие между частицами равно нулю, имеем

$$z_e = n_e, \quad z_i = n_i, \quad \gamma_z = \gamma. \quad (12)$$

Однако равенства (12) не справедливы в случае неидеального газа и в работах [7, 8] предлагаются формулы для расчета концентраций заряженных частиц в зависимости от активности z .

Плотность состояний $g(\varepsilon)$, вычисленная в работах [7, 8], справедлива, как указывалось выше, для параметра неидеальности $\gamma < 0.2$. Аналитические результаты для области больших γ в настоящее время отсутствуют. В то же время существует настоящая потребность в знании $g(\varepsilon)$ для $\gamma > 1$, например, в связи с экспериментами по рекомбинации ультрахолодной плазмы [9, 10], создаваемой лазерными методами.

На основании экспериментальных работ [9, 10] в [11] была предложена упрощенная модель плазмы, которая позволила в достаточно простой постановке получить некоторые предварительные результаты. Методом молекулярной динамики была рассчитана функция распределения и плотность электронных состояний в плазме в зависимости от γ . В работе [11] были изложены предварительные расчеты. В настоящей работе мы представим и обсудим совокупность полученных нами результатов. Это позволит качественно определить весь процесс рекомбинации неидеальной низкотемпературной плазмы.

3. МОДЕЛЬ ПЛАЗМЫ, ИСПОЛЬЗУЕМАЯ ДЛЯ РАСЧЕТА МЕТОДОМ МОЛЕКУЛЯРНОЙ ДИНАМИКИ

Рассматривается система электронов и протонов, взаимодействующих по закону Кулона. В случае взаимодействия разноименных зарядов электрон–протон на расстояниях $r < r_0$ (расстояние r_0 варьировалось от 1 до 10 радиусов Бора) потенциал взаимодействия считается постоянным и равным e^2/r_0 . Начальные скорости протонов задаются случайнym образом, но так, что средняя кинетическая энергия составляет 10^{-2} –1 К. Начальные скорости электронов задаются также случайнym образом, но при этом полная энергия электрона положительна, т. е. все электроны по условиям задачи находятся в непрерывном спектре. Средняя кинетическая энергия на одну частицу варьируется от 1 до 50 К. Рассматривались концентрации частиц $n \sim 10^9$ – 10^{10} см $^{-3}$. Для этой системы частиц методом молекулярной динамики решались уравнения движения в рамках периодических граничных условий. Периодические граничные условия позволяют использовать в расчете сравнительно небольшое число частиц — порядка 100. Подобная модель, но с другими граничными условиями и в другой области температур и концентраций рассматривалась в статье [12].

Нами рассчитывалась функция распределения электронов $f(E)$ в зависимости от энергии E , т. е. определялось число электронов, имеющих энергию E , отнесенную к полному числу электронов по следующей формуле:

$$f(E_i) = \frac{\sum_{k=1}^S f_k(E_i)}{N_e S \Delta E_i}, \quad (13)$$

где ΔE_i — конечный интервал энергии, $f_k(E_i)$ — число частиц в интервале ΔE_i на отрезке времени Δt_k , N_e — число электронов, S — число временных шагов. При этом энергия электрона рассчитывалась следующим образом:

$$E_i = \frac{m_i v_i^2}{2} + \sum_{i \neq j} \frac{q_i q_j}{r_{ij}},$$

где m_i — масса электрона, v_i — скорость электрона, q_i — заряд электрона, q_j — заряд j -й частицы ($+e$ для протона, $-e$ для электрона), r_{ij} — расстояние между электроном и j -й частицей. Сумма берется по всем частицам в системе с учетом периодических граничных условий.

С течением времени за счет межчастичного взаимодействия электроны, значения энергии которых находились в непрерывном спектре, начинают заполнять состояния с отрицательными значениями энергии. Это соответствует началу процесса рекомбинации. Процесс формирования функции распределения является существенно более медленным, чем установление электронной температуры. Теоретические оценки, а также результаты расчетов работы [11] показывают, что термализация электронов при выбранных нами начальных температурах и плотностях происходит за времена порядка $10^{-11}\text{--}10^{-10}$ с, а формирование $f(E)$ в области $-2 \leq E/T \leq 0$ — за $t \sim 10^{-8}$ с. За этот период времени температура электронов практически не меняется. В расчете определялась температура электронов путем аппроксимации полученных распределений скоростей электронов функцией Максвелла. Подобным способом определялась температура ионов. В работе [11] приведены значения T_e и T_i для нескольких расчетных точек. Шкала энергий для вычисления $f(E)$ выбиралась в безразмерном виде, $\varepsilon = E/T$, и расчет проводился в области $-2 < \varepsilon < 2$. Нас интересовало поведение $f(\varepsilon)$ в окрестности точки $\varepsilon = 0$, как в отрицательной, так и в положительной области энергий. Это связано прежде всего с тем, что выбранная нами модель правильно описывает формирование функции распределения энергии электронов в непрерывном спектре и в области квазиклассических высоковозбужденных ридберговских состояний. А в области $\varepsilon \ll 0$ необходимо учитывать квантовые эффекты, приводящие к образованию связанных состояний. Далее, мы предполагали, что в окрестности $\varepsilon = 0$ неравновесная функция распределения $f(\varepsilon)$ является больцмановской, т. е.

$$f(\varepsilon) = g(\varepsilon) e^{-\varepsilon}. \quad (14)$$

4. РЕЗУЛЬТАТЫ РАСЧЕТОВ ПЛОТНОСТИ СОСТОЯНИЙ $g(\varepsilon)$

Итак, методом молекулярной динамики нами рассчитывалась функция распределения электронов в области $-2 \leq E/kT \leq 2$ для рекомбинирующей однократно заряженной неравновесной водородоподобной плазмы и по формуле (14) определялась плотность состояний $g(\varepsilon)$. Вследствие того, что вычисления проводились для очень низких температур, рассматриваемые абсолютные значения энергии E достаточно малы (например, при $T = 1$ К энергия $E = -2$ К, что соответствует значению главного квантового числа уровня изолированного ато-

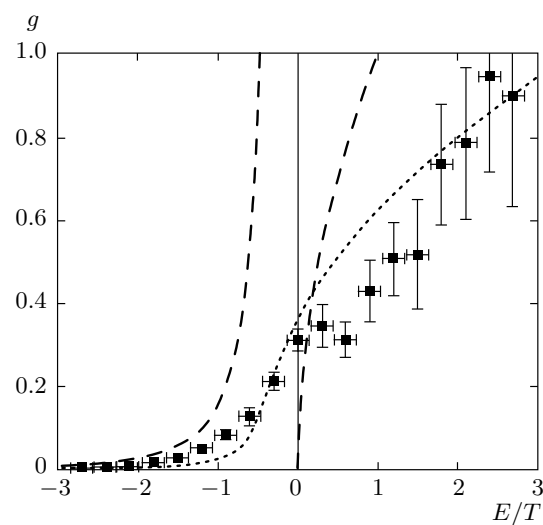


Рис. 1. Точки — результаты расчета $g(\varepsilon)$, пунктирная линия — $g(\varepsilon)$ в приближении ближайшего соседа для $z_e = 0.5n_e$, штриховые линии — зависимости (6), (7)

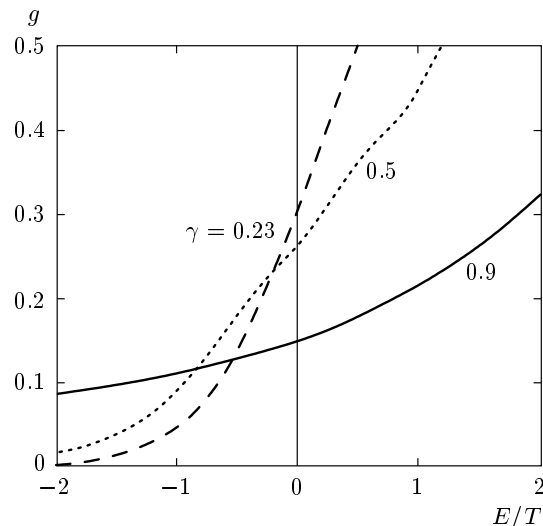


Рис. 2. Сглаженные результаты расчетов $g(\varepsilon)$ для разных γ

ма водорода $k = 285$). Это позволяет получить конечные результаты за относительно небольшое время счета. Однако, так как расчет велся в безразмерных величинах, его можно рассматривать для различных n_e и T_e , но для определенного параметра неидеальности γ .

На рис. 1 представлены результаты расчетов для $\gamma = 0.5$. Видно, что полученная функция $g(\varepsilon)$ хорошо описывается в приближении ближайше-

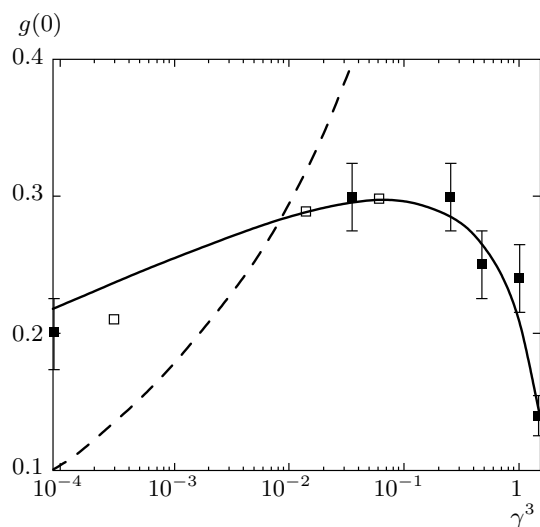


Рис. 3. Тёмные прямоугольники — рассчитанная зависимость значений $g(0)$ от γ , светлые — результаты работы [12], штриховая линия — расчет по формуле (5)

го соседа (9), если подобрать значение активности $z_e = 0.5n_e$. Штриховыми линиями изображены зависимости (6), (7). На рис. 2 даны результаты расчетов, обработанные методом наименьших квадратов для нескольких γ . Как мы видим, в области $\varepsilon = 0$ значения $g(\varepsilon)$ сначала растут, а затем уменьшаются с ростом γ . Поведение $g(\varepsilon)$ при $\varepsilon = 0$ демонстрирует график на рис. 3. При увеличении γ функция $g(0)$ достигает максимума, а затем стремится к нулю.

Необходимо отметить, что рассчитанная функция $g(\varepsilon)$ очень сильно отличается от классической в области $\varepsilon \approx -1$, что может существенно повлиять на расчет кинетических уравнений баланса для заселенности высоковозбужденных атомов в ультрахолодной плазме [9, 10, 13].

5. КОЭФФИЦИЕНТ ДИФФУЗИИ ЭНЕРГИИ ЭЛЕКТРОНОВ

Для высоковозбужденных состояний, разделенных малыми энергетическими промежутками, естественно перейти от дискретной к непрерывной зависимости заселенности состояний от энергии. Если средняя энергия, передаваемая при столкновении много меньше температуры, движение электрона в энергетическом пространстве имеет характер диффузии с коэффициентом диффузии, определяемым следующим выражением:

$$D(E) = \frac{1}{2} \frac{d}{dt} \langle E^2 \rangle. \quad (15)$$

Здесь $\langle E^2 \rangle$ — средний квадрат энергии, передаваемой в единицу времени связанным в атоме электронам в состоянии E в результате столкновений:

$$\langle E^2 \rangle = \int dE' (E - E')^2 w(E, E'), \quad (16)$$

$w(E, E')$ — вероятность неупругого перехода частицы от E к E' в результате столкновения.

При столкновении слабосвязанного электрона со свободным в приближении, когда не учитывается взаимодействие с другими частицами был получен следующий результат (см. [1]):

$$D(E) = \frac{2\sqrt{2\pi} e^4 n_e E}{3\sqrt{m T_e}} \Lambda, \quad (17)$$

где Λ — кулоновский логарифм взаимодействия свободного электрона со слабосвязанным электроном с энергией E (см., например, график для Λ в [1]); e , m , n_e , T_e — соответственно заряд, масса, концентрация, температура электронов. Формула (17) справедлива для $E \sim -kT$ в случае слабонеидеальной плазмы при $\gamma \ll 1$. Попытка учесть влияние взаимодействия была сделана в работах [14, 15] — там исследовалась рекомбинация сильнонеидеальной многократно заряженной плазмы с использованием приближения ближайшего соседа и была получена зависимость для $D(0)$:

$$D(0) = \frac{(2\pi)^{3/2} (4\pi/3)^{1/6}}{3\Gamma^2(5/6)} \frac{e^4 n_e \Lambda}{\sqrt{m}} \sqrt{Z e^2 n_i^{1/3}}, \quad (18)$$

где Z и n_i — заряд и концентрация ионов, Γ — гамма-функция, $\Gamma(5/6) \approx 1.18$. При условии электронейтральности $n_e = Z n_i$.

При расчете по формуле (18) возникает неоднозначность, связанная с тем, что значение Λ может меняться на несколько порядков в зависимости от значения $T/\Delta E$, где ΔE — энергия перехода (см., например, [1]). Кроме того, она не содержит зависимость от E . В данной работе нами был проделан расчет $D(E)$ методом молекулярной динамики в модели, описанной в разд. 3, которая учитывает все межчастичные взаимодействия.

6. РЕЗУЛЬТАТЫ РАСЧЕТА $D(E)$

Для расчета коэффициента диффузии электронов в пространстве энергий в нашей модели выбирался набор дискретных значений энергии $\{E_i\}$ и

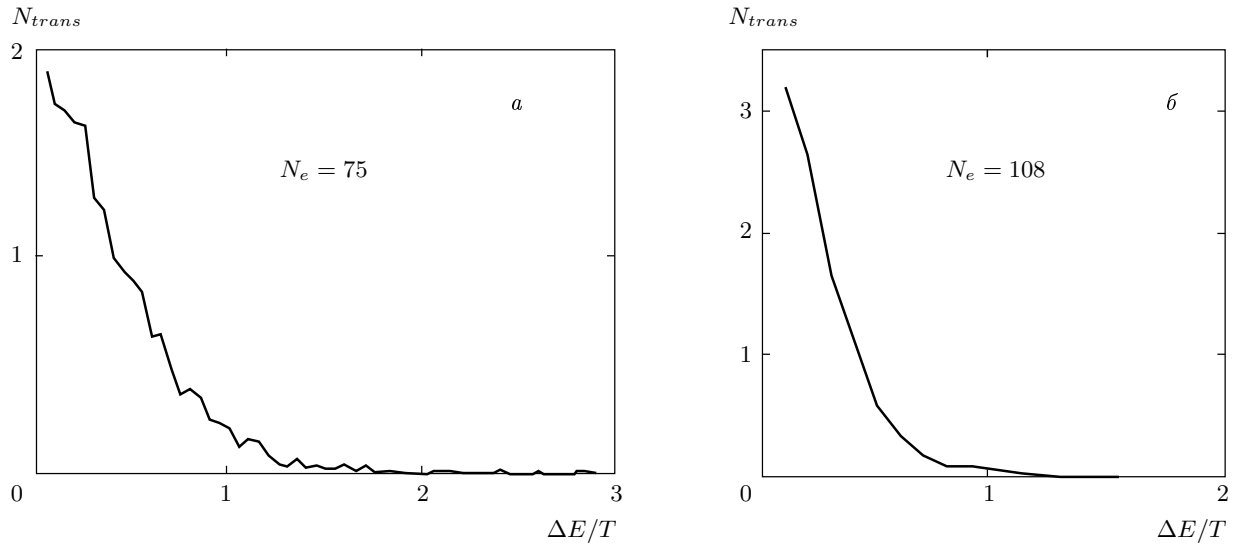


Рис. 4. Доля переходов в зависимости от переданной энергии для $\gamma = 0.5$ (а), 0.1 (б), шаг по времени $\Delta t = 10^{-10}$ с, полное время расчета $t = 5.5 \cdot 10^{-9}$ (а), $4.5 \cdot 10^{-9}$ (б) с; $n = 10^{10}$ см $^{-3}$, $T_e = 8$ К

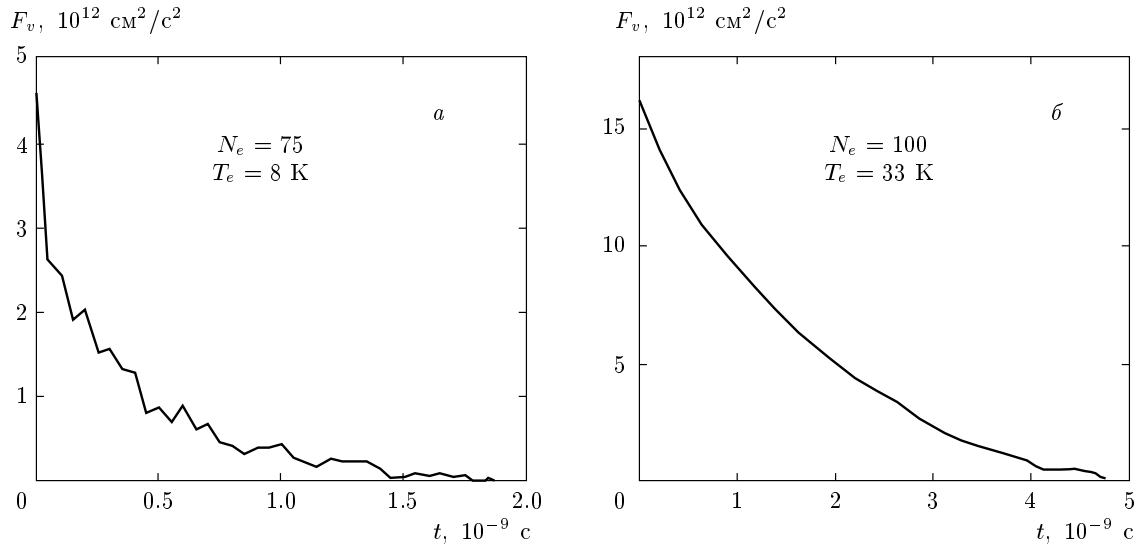


Рис. 5. Автокорреляционная функция скорости F_v для $\gamma = 0.5$ (а), 0.1 (б), шаг по времени $\Delta t = 5 \cdot 10^{-11}$ с, $n = 10^{10}$ см $^{-3}$

для каждого из этих значений рассчитывалось среднее значение $D(E_i)$ в некоторой окрестности ΔE_i по формуле:

$$D(E_i) = \frac{1}{2} \frac{\sum_j (E_i - E_j)^2 w(E_i, E_j)}{N \Delta t}, \quad (19)$$

где E_i — дискретные значения E , $w(E_i, E_j)$ — число переходов из окрестности $E_i \pm \Delta E_i$ в окрестность $E_j \pm \Delta E_j$ за интервал времени Δt , N — число частиц, $\Delta E_i = (E_{i+1} - E_i)/2$. Для оценки правомочно-

сти представления о диффузионном характере движения электрона в энергетическом пространстве были выполнены расчеты распределения передаваемой энергии. Из этих расчетов следует, что преобладающими действительно являются значения передаваемой энергии, малые по сравнению с температурой. Эти результаты представлены на рис. 4. Нами вычислялась доля переходов в зависимости от передачи энергии $\Delta\varepsilon$. В качестве шага усреднения выбран интервал $\Delta t = \tau_D = T^2/D$, где D определяется

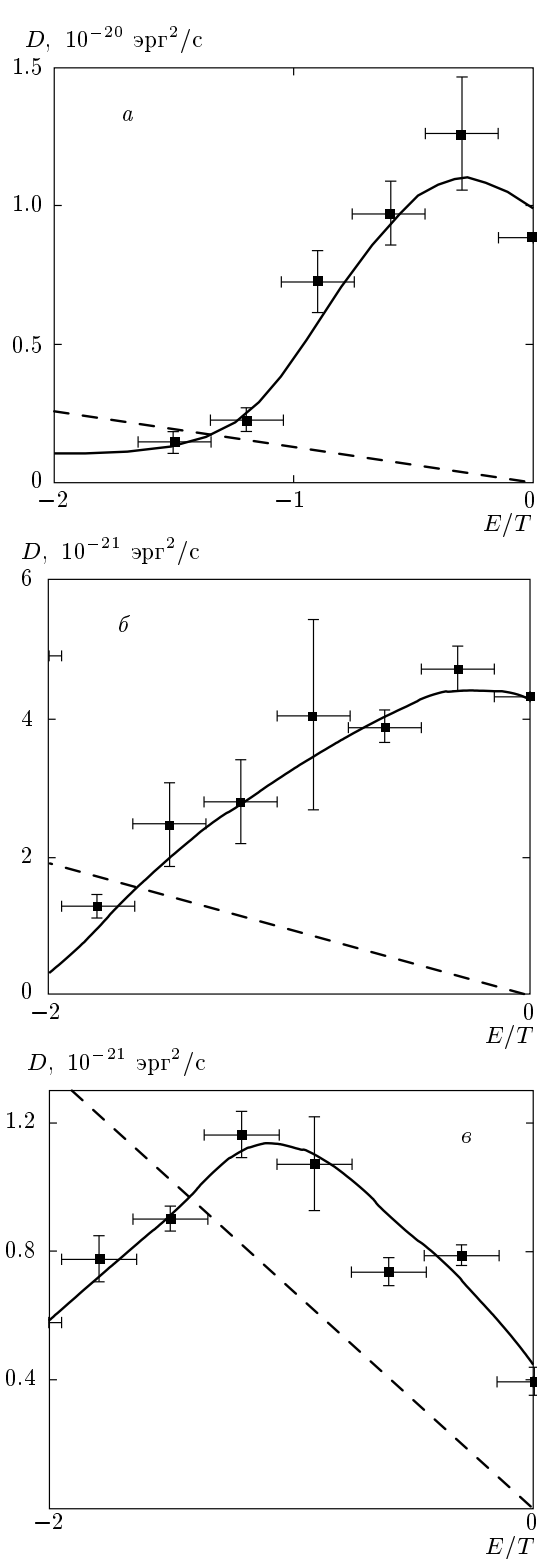


Рис. 6. Коэффициент диффузии электронов в пространстве энергий, $\gamma = 0.23$ (*a*), 0.5 (*б*), 0.9 (*в*)

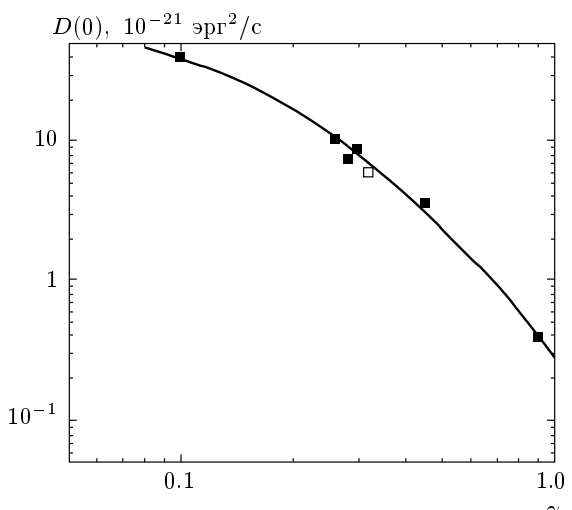


Рис. 7. Тёмные прямоугольники — рассчитанная зависимость значений $D(0)$ от γ , светлые — результаты работы [12]

из наших расчетов. Как видно из рис. 4, основная часть переходов при передаче энергии соответствует $\Delta\varepsilon < 0.5$, что позволяет говорить о диффузионном процессе передачи энергии между электронами. Отметим, что с ростом γ время τ_D приближается к времени затухания автокоррелятора скорости электрона $\langle v_e(0)v_e(t) \rangle$. На рис. 5 приведены расчеты автокоррелятора скорости для разных γ .

На рис. 6 представлены результаты расчетов $D(E)$ для различных γ в области $-2 \leq \varepsilon \leq 0$. В отличие от формулы (17), рассчитанный нами коэффициент диффузии $D(E)$ не обращается в нуль при $\varepsilon = 0$, а имеет конечное значение. При этом с ростом параметра неидеальности коэффициент диффузии $D(0)$ уменьшается (рис. 7). По-видимому, это связано с зависимостью плотности состояний g от ε . При росте γ плотность состояний $g(0)$ уменьшается, соответственно уменьшается $D(0)$. Также с увеличением γ появляется максимум $D(E)$ в области $\varepsilon < 0$. На рис. 6 штриховыми линиями изображена зависимость (17). Видно, что в области $\varepsilon \sim -1$ полученные нами расчетные значения $D(E)$ не сильно отличаются от (17), но сама зависимость (17) имеет совершенно другой характер. Приближение (18) для $D(0)$ совпадает с нашими расчетами, если положить, что Λ меняется в пределах 5.3–0.2 для различных γ .

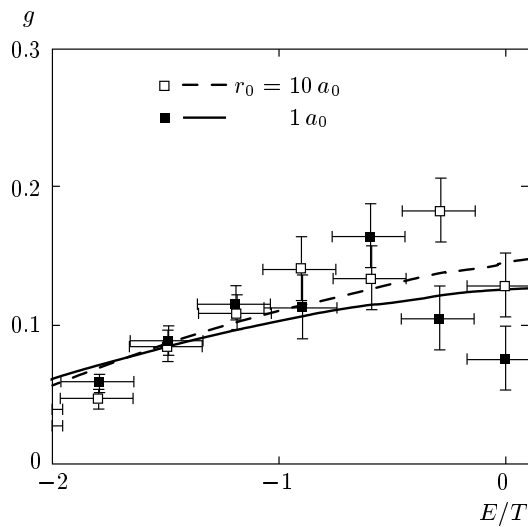


Рис. 8. Расчет $g(\varepsilon)$ для разных r_0 . Сплошная и штриховая линии — результат проведенной нами интерполяции

7. ОБСУЖДЕНИЕ

Попытки рассчитать скорость тройной рекомбинации для неидеальной плазмы были сделаны в ряде работ [14–16]. Однако эти попытки носили в основном оценочный характер.

В работах Яковленко с соавторами (см., например, [12]) методом молекулярной динамики рассчитывались различные характеристики классической неравновесной системы частиц с кулоновским взаимодействием между ними. На расстояниях, меньших $r_0 = (0.01–0.05)r_{av}$, где r_{av} — среднее расстояние между частицами, сила взаимодействия модифицировалась при помощи вспомогательной функции для обеспечения непрерывности и гладкости силы при $r = r_0$. Напомним, что в нашей работе расстояние r_0 было фиксировано и не зависело от плотности плазмы. Влияние выбора r_0 на полученные результаты проверялось как в работе [12], так и в нашей работе. Было показано, что результаты остаются неизменными в пределах ошибки расчетов. В качестве примера на рис. 8 для $\gamma = 0.9$ приведены расчеты $g(\varepsilon)$ для $r_0 = a_0, 10a_0$.

Выбор r_0 связан с тем, что разностная схема, используемая для расчета движения многих частиц, приводит к необходимости уменьшения шага при уменьшении r_0 для выполнения закона сохранения энергии. При этом приходится увеличивать объем вычислений, который тем больше, чем меньше r_0 .

Необходимо отметить также, что в работе [12] расчеты проводились в области $T_e = 0.1–2$ эВ и

$n = 10^{14}–10^{20}$ см $^{-3}$, а мы проводили расчеты при $T_e = 0.0001–0.003$ эВ и $n = 10^8–10^{12}$ см $^{-3}$.

Различие в области температур и плотностей приводит и к другим временным масштабам. Так, в работе [12] время установления равновесия составляло $t = 5 \cdot 10^{-13}–7 \cdot 10^{-11}$ с при числе шагов до 15000. В нашем случае $t = 10^{-9}–10^{-8}$ с и число шагов достигало 10^6 .

Низкая производительность вычислительных машин в 1990-х гг. обусловила необходимость использования различных математических приемов для уменьшения объемов вычислений [12]. Это позволило, с нашей точки зрения, получить достаточно надежные результаты в области энергий вблизи нуля.

Большое внимание в работе [12] уделено обсуждению выбора граничных условий при моделировании свойств систем многих частиц. При этом утверждается, что одни условия приводят к неправильным результатам, а какие-то влияют на установление равновесия. Естественно полагать, что при расчете свойств систем многих частиц от того, какие граничные условия используются, ничего не должно зависеть. Собственно говоря, для этого и увеличивается число частиц в выбранной ячейке, чтобы исключить эту зависимость.

Доказательством независимости от граничных условий, с нашей точки зрения, является тот факт, что результаты, полученные в работе [12] для плотности состояния и коэффициента диффузии при $E = 0$ и для граничных условий с зеркальными и диффузно отражающими стенками в ячейке, совпадают с нашими расчетами, в которых использовались периодические граничные условия. Эти результаты приведены для сравнения на рис. 3, 7.

В работе [12] также сделана попытка рассчитать полную рекомбинацию полностью ионизованной плазмы. При этом подвергаются сомнению основные гипотезы статистической физики.

В связи с этим в работе [12] модифицируется физическая модель. В нее добавляется внешний фактор — терmostатирующие стенки. При терmostатирующих стенах частицы, достигающие стенок ячейки, возвращаются в объем со случайнym направлением скорости и кинетической энергией, равной распределенной по Максвеллу температуре стенок. Выбор таких граничных условий приводит к изменению физической модели, так как раньше задача решалась в микроканоническом ансамбле, в котором сохраняется полная энергия системы, а в этом случае полная энергия уменьшается по мере установления равновесия в системе. С нашей точки зрения такой способ стимулирования рекомбинацион-

ных процессов не очень удачен, потому что приводит к искажению понимания физической картины. Создается ощущение, что размер ячейки влияет на результаты расчета. Методически правильнее было бы учесть процесс стохастизации дополнительным членом в уравнениях движения частиц.

В работе [12] был, как нам кажется, найден ответ на вопрос, почему в рамках микроканонического ансамбля при расчетах процесс рекомбинации не идет до конца. Это обусловлено выбором начальных условий для импульсов частиц. Оказывается, что если в процессе счета их некоторое число раз случайным образом поменять, но сохранить распределение по Максвеллу, то можно обеспечить процесс рекомбинации. Эта процедура была проделана и была получена функция распределения, которая в области отрицательных энергий описывает процессы рекомбинации. Однако авторы отказались от этого варианта ввиду большого объема вычислений на начальном участке расчетов.

Возможно, что при решении задачи полной рекомбинации и существуют проблемы, связанные с эргодической гипотезой, но мы в своей работе ограничились только изучением частичной рекомбинации. Нас интересовала область энергий $-2 \leq E/T \leq 0$, т. е. та область энергий электрона, где движение частиц является классическим и которая ограничена энергией «узкого горла». При этом, если в работе [12], где T достигает 25000 К, энергия связи, равная $2T$, далеко не соответствует квазиклассическому движению зарядов, то в нашем случае $T \leq 50$ К и энергия связи соответствует главному квантовому числу электрона в атоме водорода, $n \geq 40$. В отличие от работы [12] нам удалось осуществить расчеты в области $\gamma = 0.1\text{--}1$.

Совпадение наших результатов с полученными в работе [12] свидетельствует о том, что они зависят только от кулоновского параметра взаимодействия и слабо зависят (или не зависят) от параметра столкновения, во всяком случае до $\gamma^3 = 0.1$ (результаты [12] получены в области $\gamma^3 \leq 0.06$).

В дальнейшем мы намерены провести расчеты коэффициента тройной рекомбинации в области $\varepsilon \geq -2$ методом молекулярной динамики.

В заключение хотелось бы сказать, что из экспериментов [9, 10, 13] трудно получить подтверждение наших результатов. Это связано с тем, что те данные, которые опубликованы, недостаточны. Мы

полагаем, что если продолжить эти эксперименты, можно получить много дополнительной информации.

Работа выполнена при поддержке РФФИ (гранты №№ 06-02-16845, 05-02-17215, 08-02-01328), гранта Президента РФ МК-7383.2006.2, а также программы фундаментальных исследований Президиума РАН «Исследование вещества в экстремальных состояниях».

ЛИТЕРАТУРА

1. Л. М. Биберман, В. С. Воробьев, И. Т. Якубов, *Кинетика неравновесной низкотемпературной плазмы*, Наука, Москва (1982).
2. G. Ecker and W. Kroll, Z. Naturforschung **21a**, 2023 (1966).
3. H. Gundel, Beitr. Plasma Phys. **10**, 455 (1970).
4. В. С. Воробьев, ТВТ **13**, 245 (1975).
5. А. С. Каклюгин, Г. Э. Норман, ТВТ **25**, 209 (1987).
6. I. Shimamura and T. Fujimoto, Phys. Rev. A **42**, 2346 (1990).
7. В. С. Воробьев, А. Л. Хомкин, ТМФ **26**, 364 (1976).
8. В. С. Воробьев, А. Л. Хомкин, Физика плазмы **3**, 885 (1977).
9. T. C. Killian, S. Kulin, S. D. Bergeson et al., Phys. Rev. Lett. **83**, 4776 (1999).
10. T. C. Killian, M. J. Lim, S. Kulin et al., Phys. Rev. Lett. **86**, 3759 (2001).
11. A. A. Bobrov, E. A. Manykin, B. B. Zelener, and B. V. Zelener, Laser Phys. **17**, 15 (2007).
12. С. А. Майоров, А. Н. Ткачев, С. Н. Яковленко, УФН **164**, 297 (1994).
13. S. Kulin, T. C. Killian, S. D. Bergeson et al., Phys. Rev. Lett. **85**, 318 (2000).
14. Л. М. Биберман, В. С. Воробьев, И. Т. Якубов, ДАН **296**, 577 (1987).
15. И. Т. Якубов, ТВТ **30**, 862 (1992).
16. Y. Hahn, Phys. Lett. A **293**, 266 (2002).